

بهینه‌سازی تولید یک آنتی‌بادی با اختصاصیت دوگانه علیه گیرنده‌ی لپتین و CD4 انسانی و بررسی خواص آن

لیلا مجیدی^۱، دکتر سید حمید زرکش اصفهانی^۲، دکتر محمد ربانی^۳، دکتر رحمان امامزاده^۳، فروزان صفری^۱، دکتر آرش بابایی^۴

مقاله پژوهشی

چکیده

مقدمه: نقص در لپتین و یا گیرنده‌ی آن، اثر محافظتی در ابتلا به بیماری‌های خودایمن دارد؛ اما از آن جایی که لپتین روی سلول‌های بسیاری دارای گیرنده است، مسدود کردن همه آن‌ها عاقبی را به دنبال خواهد داشت. بنا بر این، آتناگونیست لپتین در فرم قطعه‌ای آنتی‌بادی با ویژگی دوگانه (taFv) علیه CD4 و گیرنده‌ی لپتین ObR، از طریق هدف قرار دادن ObR فقط بر روی سلول‌های T، دارای پتانسیل درمانی برای چنین بیماری‌هایی است. این پژوهش با هدف افزایش بیان taFv مذکور انجام شد.

روش‌ها: قطعه‌ی زنی taFv از وکتور pET32a pAB1 به وکتور PCR ساپ کلون شد. واکنش SDS PAGE Dot blot (Sodium dodecyl sulfate polyacrylamide gel electrophoresis) انجام گرفت. تأیید تولید پروتئین با روش‌های Western blot و Dot blot. تأثیر شرایط مختلف محیطی شامل محیط کشت، سویه‌ی باکتریایی، دما و غلظت Isopropyl β-D-1- (IPTG) انجام گرفت. آزمایش ELISA (Enzyme-linked immunosorbent assay) بر روی بیان از طریق (thiogalactopyranoside) بر روی بیان taFv تولید شده به روشنایی افزایش نشان داد. در نهایت، خاصیت زیستی پروتئین تولید شده به روشنایی افزایش نشان داد.

یافته‌ها: نتایج PCR، حضور taFv را در پلاسمیدهای ساپ کلون شده تأیید کرد. آزمایش‌های Dot blot به وضوح افزایش بیان پروتئین را در مقایسه با وکتور قبلی و آزمایش ELISA، محیط سوربیتول دار، دمای ۱۸°C، سویه‌ی E. coli BL21 (Escherichia coli) ۰/۰۵ mM IPTG می‌نماید. غلظت ۰/۰۵ mM IPTG در حدود ۲۰ درصد از لنفوسيت‌ها را نشان داد.

نتیجه‌گیری: امکان تولید taFv به صورت نوترکیب با قابلیت اتصال به مولکول CD4 روی لنفوسيت‌های انسان وجود دارد. همچنین، با بهینه‌سازی شرایط تولید، امکان افزایش تولید آن فراهم می‌شود.

وازگان کلیدی: لپتین، بیماری‌های خودایمن، بهینه‌سازی، آنتی‌بادی با اختصاصیت دوگانه

ارجاع: مجیدی لیلا، زرکش اصفهانی سید حمید، ربانی محمد، امامزاده رحمان، صفری فروزان، بابایی آرش. بهینه‌سازی تولید یک آنتی‌بادی با اختصاصیت دوگانه علیه گیرنده‌ی لپتین و CD4 انسانی و بررسی خواص آن. مجله دانشکده پزشکی اصفهان ۱۳۹۴؛ ۳۳ (۳۵۵): ۱۷۴۰-۱۷۵۱

۱- کارشناس ارشد، گروه زیست‌شناسی، دانشکده علوم، دانشگاه اصفهان، اصفهان، ایران

۲- دانشیار، گروه زیست‌شناسی، دانشکده علوم، دانشگاه اصفهان، اصفهان، ایران

۳- استادیار، گروه زیست‌شناسی، دانشکده علوم، دانشگاه اصفهان، اصفهان، ایران

۴- استادیار، گروه زیست‌شناسی، دانشکده علوم، دانشگاه ملایر، ملایر، ایران

نویسنده‌ی مسؤول: دکتر سید حمید زرکش اصفهانی

Email: s.h.zarkesh@sheffield.ac.uk

مقدمه

۶ ایزوفرم از آن وجود دارد (۲، ۶). اختلال در بیان ژن لپتین (ob) یا اختلال در گیرنده‌ی آن (db) و یا نقص در مسیرهای پیامرسانی درون سلولی، پیامدهایی نظیر اشتیاق پایدار به غذا و چاقی مفرط را در پی دارد (۷). از جمله اثرات مهم لپتین، اثر آن روی سیستم ایمنی است. موش‌های ob/db یا db/db (که به ترتیب دچار نقص در تولید هورمون و یا گیرنده‌ی آن می‌باشند)، نه تنها چاق هستند، بلکه در عملکرد فعالیت‌های جنسی، سطح هورمونی، ترمیم زخم، ساختمان استخوانی و عملکرد سیستم ایمنی هم، غیر طبیعی می‌باشند (۸). همچنین، متهم آتروفی تیموس و کاهش تعداد لنفوцит‌ها هستند (۹). این موش‌ها دچار نقص در ایمنی سلولی و هومورال هستند (۱۰).

موش‌های دچار نقص لپتین، به القای دو نوع EAE (Experimental autoimmune encephalomyelitis) فعال و اکتسابی (مدل حیوانی بیماری مولتیپل اسکلروزیس) مقاومت دارند که این مقاومت با تجویز لپتین قابل برگشت است و می‌توان آن‌ها را بدین طریق حساس نمود. در این بازگشت، پاسخ‌های IgG₁ و Th₁ و Th₂ helper (T helper₂) به IgG_{2a} سوئیچ می‌شود. سلول‌های T CD4⁺ موش که تحت تأثیر آناتاگونیست‌های لپتین قرار گرفتند، یک کاهش حساسیت نسبت به پیتید عامل القای EAE از خود نشان دادند (۱۱). در نتیجه، با ایجاد آناتاگونیستی برای ممانعت از عمل لپتین بر سلول‌ها، تا حد زیادی می‌توان بیماری‌های خود ایمن را از بین برد. این کار با ایجاد Ab (Antibody) کامل یا مشتقات آن مثل ScFv علیه لپتین، گیرنده‌اش و یا مسیر داخل سلولی

لپتین هورمونی غیر گلیکوزیله با ۱۶۷ اسید آمینه (۱)، دارای ساختاری استوانه‌مانند، متشکل از ۴ زنجیره‌ی آلفای آنتی‌پارالل با اتصالات عرضی است، که نقش کلیدی در جذب و مصرف انرژی و یا به بیان دیگر، اشتها و متابولیسم دارد (۲). در پی غذا خوردن، سطح لپتین سرم افزایش می‌یابد که منجر به ارسال علامتی به سیستم اعصاب مرکزی (CNS) یا

(Central nervous system)، مبنی بر کافی بودن انرژی می‌گردد که به دنبال آن، پاسخ به صورت کاهش اشتها و افزایش مصرف انرژی داده می‌شود تا از چاقی جلوگیری گردد (۳).

لپتین روی غدد آدرنال، هیپوفیز و هیپوتالاموس اثر می‌گذارد و یک هورمون چند منظوره است. عالیم‌دهی گیرنده‌ی لپتین، نقش اساسی در رگزایی، تومورزایی، میزان انسولین خون و دیابت نوع II تشکیل استخوان، فشار خون، بلوغ جنسی و باروری بازی می‌کند (۳).

به طور عمده، از آدیپوسیت‌ها (بافت سفید چربی)، به تناسب حجم چربی بدن (۴، ۲)، و به میزان بسیار کمتر از سلول‌های اپی‌تلیال معده، اپی‌تلیال پستان، عضلات اسکلتی و جفت ترشح می‌شود. بیان لپتین، تحت تأثیر هورمون‌های انسولین، ترشح لپتین را در طول تغذیه تحریک می‌کند؛ در حالی که در گرسنگی کاهش انسولین با کاهش لپتین همراه است. تستوسترون بیان لپتین را مهار می‌کند، اما هورمون‌های جنسی استروئیدی منجر به افزایش لپتین می‌گردند. میزان لپتین سرمی با میزان چربی ذخیره شده در بدن ارتباط مستقیم دارد (۵). گیرنده‌ی لپتین (ObR) با ژن db بیان می‌شود و

پیتید حد واصل طراحی شده است. جایگاه اتصال یک سمت از این آنتی‌بادی، گیرنده‌ی هورمون لپتین است که به عنوان آنتاگونیست گیرنده عمل می‌کند و سمت دیگر، قادر به اتصال به CD4 لنفوسيت‌های انسانی می‌باشد. با اتصال این taFv همزمان به دو جایگاه پیش‌گفته، هدف اصلی که مسدود کردن گیرنده‌ی لپتین فقط بر روی لنفوسيت‌های T است، صورت می‌گیرد (۱۶). هدف از این مطالعه، افزایش تولید taFv بود.

روش‌ها

برای دست‌یابی به بیان مناسب که هدف این مطالعه بود، قطعه‌ی taFv از وکتور pAB1 (دارای اپران و پروموترا lac و ژن مقاومت به آنتی‌بیوتیک آمپی‌سیلین) همراه قطعه‌ی pel (توالی رهبر که باعث هدایت پروتئین به فضای پری‌پلاسمی می‌شود) به وکتور pET32a انتقال داده شد. وکتور pET32a، دارای پروموترا T7، اپران dac، دنباله‌ی His (به منظور ردیابی پروتئین توسط آنتی‌بادی و خالص‌سازی)، دنباله‌ی Trx (به منظور محلول ساختن پروتئین) و ژن مقاومت به آنتی‌بیوتیک آمپی‌سیلین بود. به منظور سابکلون، هر دو وکتور مبدأ (pAB1) و هدف سابکلون، بریده شد و پس از استخراج از ژل Double digest قطعه‌ی taFv (همراه با قطعه‌ی pel چسبیده به آن)، واکنش الحاق بین قطعه و وکتور هدف با کمک آنزیم DNA لیگاز T4 صورت گرفت. همچنین، برای بررسی خود الحاقی وکتور هدف، انکوباسیون وکتور هدف و آنزیم DNA لیگاز T4 بدون قطعه‌ی taFv، نیز انجام شد. سلول‌های

JAK2 و فسفوتیروزین کیناز)، امکان پذیر است که البته به کار بردن Ab علیه مورد آخر، با توجه به Janus kinase/) JAK/STAT گستردگی مسیر (Signal transducer and activator of transcription باعث اختلالات عمدۀ در عملکرد سلول می‌شود (۱۲). آنتی‌بادی‌ها، به خصوص در فرم‌های مهندسی شده، ابزارهای قدرتمندی برای شناسایی، تشخیص و درمان هستند (۱۳).

از معایب تولید پروتئین‌های نوترکیب در باکتری‌ها، فقدان سیستم‌های قندگذاری و عدم وجود سیستم‌های تولید و ترشح مشابه سلول‌های پستانداران است. کوچک کردن Ab، تنها از طریق تولید قسمت‌های عملکردی آن (یا تولید قسمت‌های Variable سنگین و سبک) تا حدی این مشکل را برطرف می‌کند؛ یعنی به جای تولید آنتی‌بادی کامل، قطعات Ab مثل SdAb، ScFv، Fab (Nanobody) توأم شود. ScFv از اتصال دومین‌های متغیر زنجیره‌ی سنگین و سبک (V_L و V_H)، با پیتید قابل انعطاف تشکیل شده است. این قطعات، ضمن حفظ خاصیت اتصال به آنتی‌ژن (Antigen یا Ag) می‌توانند به سهولت در سلول‌های باکتری تولید شوند (۱۴) و چون گلیکوزیلاسیون Ab‌ها در زنجیره‌ی ثابت سنگین (C_H یا Chain_{Heavy}) انجام می‌شود، تولید قطعات مزبور نیاز به گلیکوزیلاسیون هم ندارد (۱۵). از آن جایی که لپتین هورمون چند منظوره و دارای نقش‌های متعدد است، به منظور مسدود کردن گیرنده‌ی لپتین فقط بر روی لنفوسيت‌های T، قطعه‌ای آنتی‌بادی (taFv یا scFv یا Tandem scFv یا Tandem single chain fragment variable) با اختصاصیت دوگانه از طریق اتصال دو scFv به کمک

این محیط به ۱۵ ml محیط کشت جدید (نسبت ۱ به ۱۰۰)، حاوی ۱۰۰ µg/ml آمپی‌سیلین اضافه و در ۳۷ °C دمای و انکوباتور Shaker دار با دور ۱۸۰ rpm تا زمانی که OD (Optical density) به ۰/۸-۶ (ابتدا ۱ mM مرحله‌ی لگاریتمی) برسد، انکوبه و سپس (Isopropyl β-D-1-thiogalactopyranoside) IPTG اضافه و در دمای ۲۳ °C و انکوباتور شیکردار با دور ۱۸۰ rpm، به مدت ۲۰-۱۸ ساعت بار دیگر انکوبه شد.

به منظور بررسی حضور پروتئین، اقدام به جداسازی عصاره‌های پری‌پلاسم و سیتوپلاسم شد. برای دست‌یابی به عصاره‌ی پری‌پلاسم، از شیب سوکروز یعنی بافر x ۱ و EDTA ۱ mM Sucrose ۲۰ درصد $\frac{1}{5}$ TES (Tris-HCl ۲۰ mM، Ethylenediaminetetraacetic acid) و برای دست‌یابی به عصاره‌ی سیتوپلاسمی از امواج اولتراسوند (Hielscher, Germany)، استفاده شد. به منظور بررسی حضور پروتئین به کمک آنتی‌بادی Anti-His tag (Sigma-Aldrich)، از عصاره‌های پری‌پلاسم و سیتوپلاسم استخراج شده در SDS PAGE استفاده شد و پس از آن، Dot blot Sodium dodecyl sulfate polyacrylamide gel (Western blot) و electrophoresis برای مشخص کردن تأثیر شرایط محیطی، ۱۸ آزمایش طراحی شده توسط نرم‌افزار Minitab ۱۶، با سه بار تکرار انجام شد. سپس نمونه‌ها با استفاده از Enzyme-linked immunosorbent assay (ELISA) مورد ارزیابی قرار گرفت (جدول ۱). به منظور خالص‌سازی از سویه‌ای که بیشترین تولید را داشت، E. coli BL21 ۲۰۰ ml در شرایط

(Escherichia coli) E. coli TOP 10 و شوک حرارتی (بر اساس پروتکل CaCl₂ (Sambrook) مستعد پذیرفتن پلاسمید شدند. سپس، با محصول واکنش الحاق و خود الحاقی، ترانسفورم و در محیط LB (Luria broth) آگار حاوی ۱۰۰ µg/mg آمپی‌سیلین کشت داده شدند. بر روی محصول واکنش الحاق، پس از استخراج پلاسمید (از طریق کیت شرکت فرمتاژ)، به منظور تأیید دریافت قطعه‌ی taFv، با کمک پرایمرهای عمومی Polymerase chain reaction (PCR) (پرایمرهای T7) واکنش PCR (PCR) انجام شد.

غلظت مواد موجود در واکنش PCR شامل ۰/۵ µl PCR ۱۰X، ۰/۷۵ µl MgCl₂، ۰/۵ µl Deoxynucleoside triphosphate (dNTP)، ۰/۵ µl taFv، ۰/۲ µl آنزیم pET32a در ۹۵ °C در ۱۸/۲۵ µl آب بود که تحت برنامه‌ی ۹۵ °C در ۳ دقیقه، ۵۷ °C در ۱ دقیقه، ۷۲ °C در ۲/۴ دقیقه، ۷۲ °C در ۳ دقیقه و در ۳۰ چرخه انجام گرفت. بررسی محصول نهایی از طریق الکتروفورز بر روی ژل آگارز، رنگ‌آمیزی با اتیدیوم برماید و مشاهده‌ی آن با نشانگر ۱ kb Gel documentation انجام شد.

پس از تأیید ایجاد پلاسمید نوترکیب حاوی قطعه‌ی taFv، شرایط برای بیان آماده شد. به این ترتیب که چند کلونی از باکتری‌های E. coli BL21 و Origami JM109 ترانسفورم شده با پلاسمید نوترکیب، در ۵ ml LB مایع حاوی ۱۰۰ µg/mg آمپی‌سیلین، در دمای ۳۷ °C و انکوباتور شیکردار کشت شبانه داده شدند. سپس ۱۵۰ µl از

Mouse به طور خلاصه، لنفوسیت‌ها و taFv همراه anti His-Tag Ab یا آنتی‌بادی شاهد ایزوتایپ، در ابتدا و سپس همراه Anti-mouse FITC (abcam) در دو لوله‌ی مجزا و در لوله‌ی دیگر به عنوان شاهد مثبت لنفوسیت‌ها بدون حضور taFv، با آنتی‌بادی تجاری CMG) Anti-human CD4 FITC (Amersham) یا (Anti-mouse fluorescein isothiocyanate) (CMG) Anti-human CD4 FITC (abcam) تاریک انکوبه شدند. نمونه‌ها پس از شستشو با PBS (Phosphate-buffered saline)، از طریق دستگاه فلوسایتو‌متری (Partec PAS, Germany) آنالیز شد.

هوادهی بالا کشت و عصاره‌های پری‌پلاسم و سیتوپلاسم باکتری‌ها پس از استحصال، طبق پروتکل شرکت اینویتروژن از ستون نیکل عبور داده شد. خاصیت زیستی، از طریق بررسی اتصال taFv خالص شده به CD4 سطح لنفوسیت‌ها به کمک آنتی‌بادی‌های Mouse anti His-Tag Ab یا آنتی‌بادی Anti-mouse FITC، (Anti-mouse fluorescein isothiocyanate) (CMG) Anti-human CD4 FITC و (CMG) Anti-human CD4 FITC (abcam) طریق تکنیک فلوسایتو‌متری سنجش شد.

جدول ۱۸. آزمایش طراحی شده با استفاده از نرم‌افزار Miniteb ۱۶

Strain	Media	Tem (°C)	[IPTG] M
BL21	TB	۱۸	۰/۰۵
Origami	TB	۲۳	۰/۱۰
JM109	TB	۳۰	۱/۰۰
BL21	LB sorbitol	۱۸	۰/۱۰
Origami	LB sorbitol	۲۳	۱/۰۰
JM109	LB sorbitol	۳۰	۰/۰۵
Origami	SB sorbitol	۱۸	۰/۰۵
JM109	SB sorbitol	۲۳	۰/۱۰
BL21	SB sorbitol	۳۰	۱/۰۰
JM109	LB glycine-triton x-100	۱۸	۱/۰۰
BL21	LB glycine-triton x-100	۲۳	۰/۰۵
Origami	LB glycine-triton x-100	۳۰	۰/۱۰
Origami	SB glycine-triton x-100	۱۸	۱/۰۰
JM109	SB glycine-triton x-100	۲۳	۰/۰۵
BL21	SB glycine-triton x-100	۳۰	۰/۱۰
JM109	TB ethanol	۱۸	۰/۱۰
BL21	TB ethanol	۲۳	۱/۰۰
Origami	TB ethanol	۳۰	۰/۰۵

TB: محیط حاوی گلیسرول ۰/۶ M، LBs: محیط LB حاوی سوربیتول ۰/۵ M، SBs: محیط SB حاوی سوربیتول ۰/۰۵ M، LBg.t: محیط LB حاوی گلایسین و تریتون X-۱۰۰ هر کدام ۱ درصد، SBg.t: محیط SB حاوی گلایسین و تریتون X-۱۰۰ هر کدام ۱ درصد، TB: محیط TB ethanol که علاوه بر گلیسرول ۰/۶ M، حاوی اتانول ۳ درصد نیز بود.

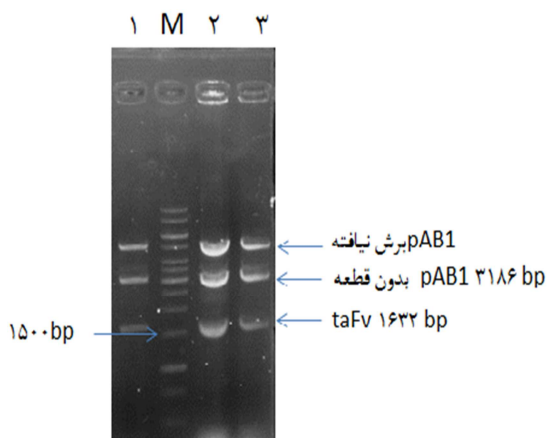
جدول ۲. آماده‌سازی (تیمار) سلول‌های لنفوسيت با آنتی‌ژن و آنتی‌بادی

مرحله‌ی سوم آنتی‌بادی اولیه / ثانویه کانجوگه با FITC	مرحله‌ی دوم آنتی‌بادی اولیه	مرحله‌ی اول آنتی‌ژن لنسوسیت	شماره لوله
-	-	taFv	۱ اتوфلورست
Anti-mouse FITC	Mouse anti His-Tag Ab	taFv	۲ نمونه‌ی اصلی
Anti-mouse FITC	آنتی‌بادی شاهد ایزوتایپ	taFv	۳ ایزوتایپ شاهد
Anti-mouse FITC	-	taFv	۴ شاهد FITC
Anti-human CD4 FITC	-	-	۵ شاهد مثبت

FITC: Fluorescein isothiocyanate

یافته‌ها

هضم آنزیمی با آنزیم‌های محدود کننده‌ی NotI و HindIII بر روی پلاسمید pAB1، خروج قطعه‌ی ۱۶۳۲ bp همراه با taFv ۱۶۳۲ bp (شکل ۱).



شکل ۱. هضم دوگانه‌ی آنزیمی پلاسمید pAB1 و خروج قطعه‌ی taFv ۱۶۳۲ bp

M نشانگر ۱ kb، چاهک‌های شماره‌ی ۱، ۲ و ۳ پلاسمید pAB1 بر پوشیده با آنزیم‌های محدود کننده‌ی NotI و HindIII و (در بافرهای مختلف) می‌باشد. طول قطعه‌ی ژنی taFv ۱۶۳۲ bp، taFv ۳۱۸۶ bp، pAB1 ۳۱۸۶ bp و طول باقی مانده‌ی پلاسمید pAB1 ۱۵۰۰ bp بود.

باکتری‌هایی که با پلاسمید نوترکیب (محصول الحاق pET32a و قطعه‌ی taFv) ترانسفورم شده بودند، تعداد زیاد کلونی و باکتری‌هایی که با پلاسمید Double digest pET32a شده (محصول واکنش

به منظور بررسی خاصیت زیستی، اتصال taFv خالص شده به CD4 سطح لنفوسيت‌ها به کمک فلوسایتومتری مورد ارزیابی قرار گرفت. مطابق جدول ۲، لوله‌ی شماره‌ی ۱ فقط دارای لنفوسيت و taFv و به عنوان اتوفلورست انتخاب شد. آماده‌سازی سایر لوله‌ها بدین ترتیب بود: در مرحله‌ی اول انکوباسیون، بر روی لنفوسيت‌های لوله‌های شماره‌ی ۲ تا ۴ که به ترتیب، نمونه‌ی اصلی، شاهد ایزوتایپ و شاهد FITC بود؛ در مرحله‌ی دوم انکوباسیون به لوله‌ی شماره‌ی ۲ آنتی‌بادی شاهد ایزوتایپ (Amersham) و در مرحله‌ی سوم انکوباسیون، به لوله‌های شماره‌ی ۲، ۳ و ۴ Anti-mouse FITC (abcam) و به لوله‌ی شماره‌ی ۵ که کنترل مثبت بود، انکوباسیون‌ها به مدت ۳۰ دقیقه بر روی یخ و در صورت داشتن ماده‌ی فلورست، در تاریکی انجام گرفت و بین تمام انکوباسیون‌ها و همچنین بعد از آخرین مرحله، شستشو با PBS، به صورت ۵ دقیقه سانتریفیوژ در ۴۰۰ g انجام شد (۱۷). میزان فلورست نمونه‌ها توسط دستگاه فلوسایتومتری (Partec PAS, Germany) آنالیز شد.

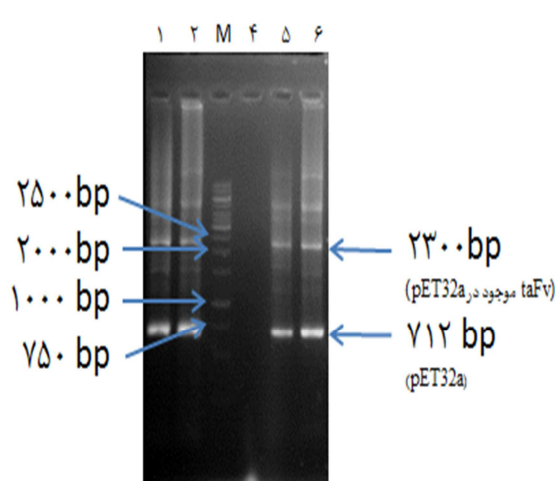
نتایج Dot blot، بازگو کنندهٔ تولید پروتئین در تمام عصاره‌های پری‌پلاسم و سیتوپلاسم فقط در سویهٔ E.coli BL21 بود (شکل ۳).
در SDS PAGE و Western blot ۷۸ kDa، باند taFv مربوط به ظاهر شد (شکل‌های ۴ و ۵).



شکل ۳. نتایج حاصل از Dot blot عصارهٔ سیتوپلاسمی و پری‌پلاسمی از طریق آنتی‌بادی Anti His- HRP

۱ و ۲ شاهد مثبت: پروتئین دیفسین (دارای دنبالهٔ هیستیدین) تولید شده در وکتور pET 48b، (۳) شاهد منفی، ۴ و ۵ نمونه‌های پری‌پلاسمی و ۶ و ۷ نمونه‌های سیتوپلاسمی پروتئین taFv، تولید شده در Escherichia coli BL21 حامل وکتور pET32a (پری‌پلاسمی) یا سایر خانه‌ها عصارهٔ سیتوپلاسمی یا پری‌پلاسمی سویه‌های pET32a، E.coli Origami و E.coli JM 109 حامل وکتور TMB نوترکیب هستند (که با Dot blot به روش ۳,3',5,5'-Tetramethylbenzidine) آن‌ها مشاهده نشد.

خودالحاقی) ترانسفورم شدند، ۳ کلونی بر روی پلیت LB آگار حاوی آمپیسیلین تشکیل دادند.
نتایج PCR به کمک پرایمرهای T7 بر روی پلاسمید نوترکیب استخراج شده، تکثیر قطعه‌ی ۲۳۰۰ bp (pelB و taFv) را نشان داد (شکل ۲).

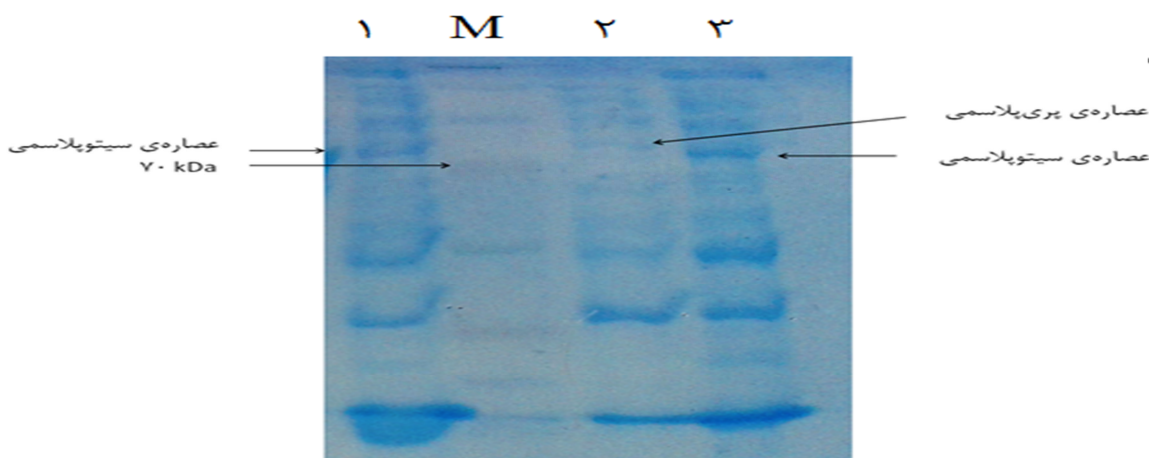


شکل ۲. نتیجهٔ واکنش Polymerase chain reaction (PCR) قطعه‌ی taFv موجود در pET32a (Lane M)، نشانگر چاهک‌های شماره‌ی ۱، ۲، ۵ و ۶ فقط در دمای Annealing، ۲۳۳۷ bp تفاوت دارند. چاهک شماره‌ی ۳، شاهد منفی، قطعه‌ی ۷۱۲ bp taFv تکثیر شده در pET32a نوترکیب و قطعه‌ی pET32a تکثیر شده بدن قطعه، توسط پرایمرهای T7 را نشان می‌دهد.

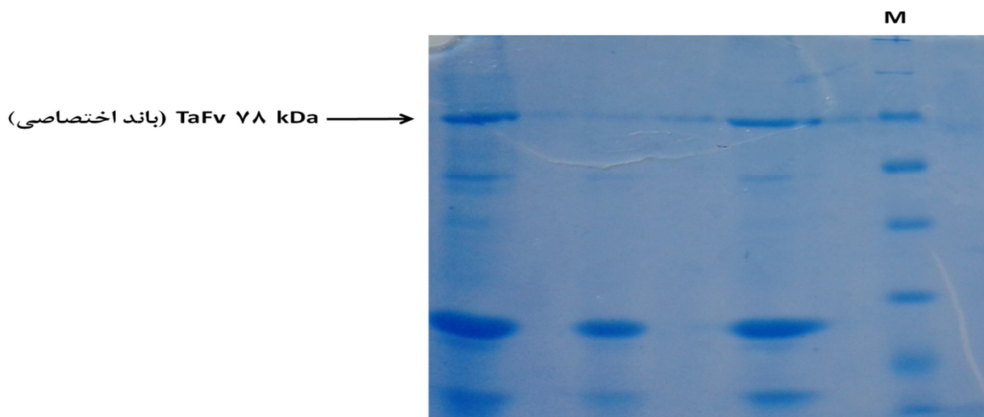


شکل ۴. نمای Western blot

در Western blot با آنتی‌بادی Anti His- HRP، باند taFv ۷۸ kDa مشاهده می‌شود.



شکل ۵. تصویر نشانگر رنگی پروتئین. شماره‌های ۱ و ۳) عصاره‌ی سیتوپلاسمی و ۲) عصاره‌ی پری‌پلاسمی (*Escherichia coli*) *E. coli* BL21 (M) نشانگر taFv ۷۸ kDa نوترکیب. باند pET32a مشاهده می‌شود.



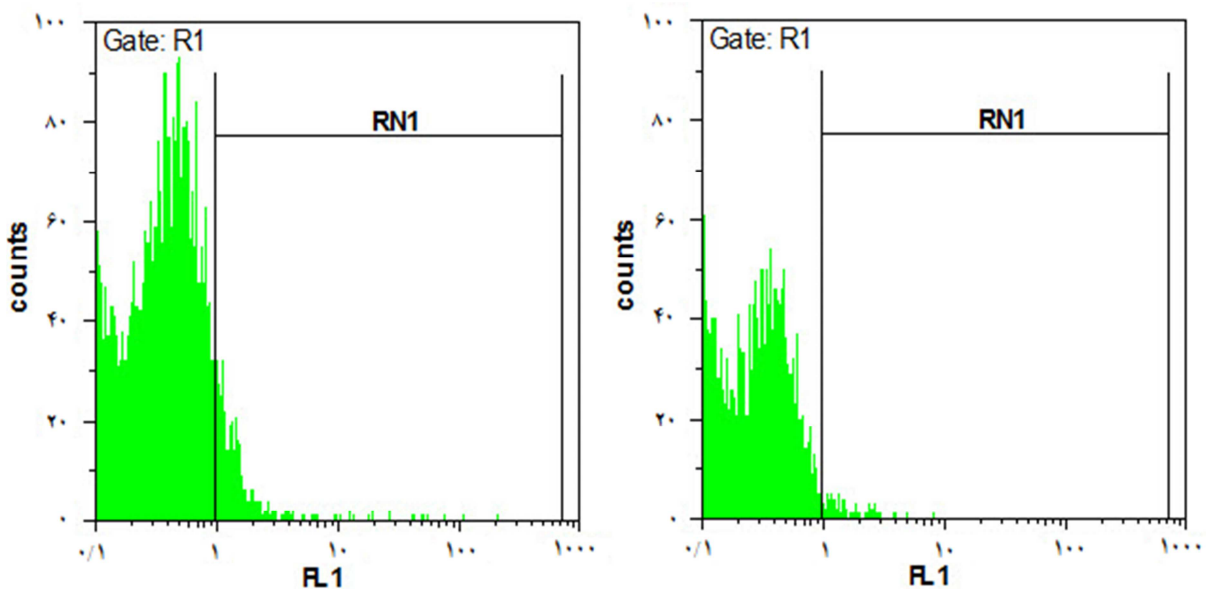
شکل ۶. نشانگر (Sodium dodecyl sulfate polyacrylamide gel electrophoresis) SDS-PAGE پس از خالص‌سازی. (M) نشانگر taFv ۷۸ kDa مربوط به عبور داده شده از ستون نیکل است.

قادر به اتصال به ۷۸/۶۸ درصد از لنفوцит‌ها نشان داده شد (شکل‌های ۷، ۸ و ۹).

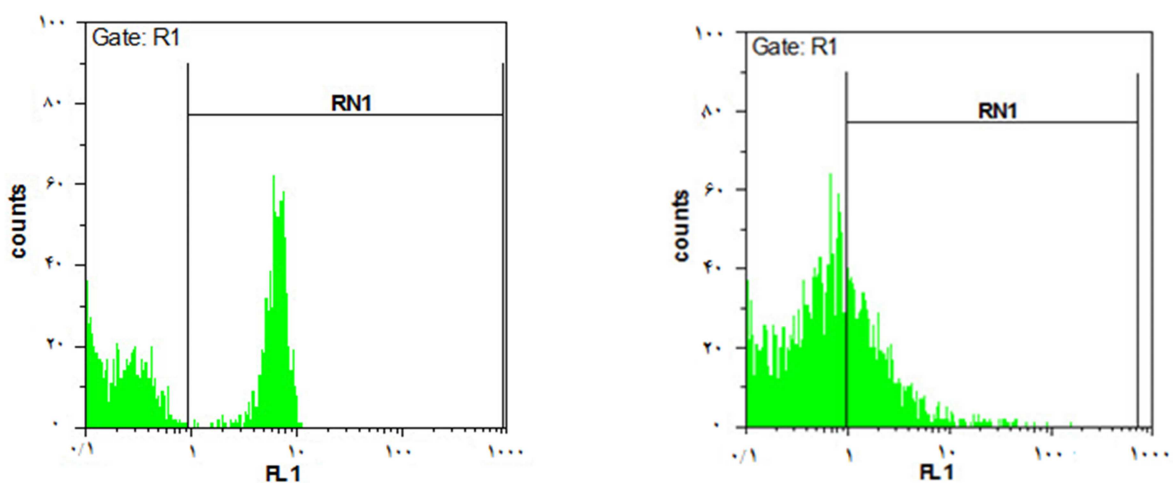
بحث

لپتین در القای پیشرفت بیماری آنسفالومیلیت خودایمن تجربی (EAE) در موش نقش دارد. موش ob/ob (دچار نقص در ژن لپتین) در برابر ابتلا به EAE از خود مقاومت نشان می‌دهد؛ در حالی که تزریق لپتین به این موش منجر به ایجاد EAE در آن می‌شود.

در SDS-PAGE پس از خالص‌سازی باند ۷۸ kDa مربوط به taFv، قابل مشاهده است (شکل ۶). نتایج ELISA، سویه‌ی *E. coli* BL21، محیط کشت SB سوربیتول‌دار، دمای 18°C و غلظت taFv ۰/۰۵ mM IPTG را بهترین شرایط برای تولید taFv نشان داد. غلظت taFv تولیدی با استفاده از آزمایش برده‌فورد، ۲۷ mg/ml تخمین زده شد. از نظر خاصیت زیستی در بیشترین حالت، taFv قادر به اتصال به (Anti-human CD4 FITC) ۲۲/۷۵ و آنتی‌بادی تجاری (Anti-human CD4 FITC) ۱۳۹۴



شکل ۷. نمودار فلوسایتومتری نمونه‌های شاهد منفی: شاهد ایزوتایپ و شاهد FITC (به ترتیب از راست به چپ). ۶ درصد از سلول‌ها فلورستن نشان می‌دهند.



شکل ۹. نمودار فلوسایتومتری شاهد مثبت. ۲۷/۶۸ درصد از سلول‌ها فلورستن نشان می‌دهند.

شکل ۸ نمودار فلوسایتومتری نمونه‌ی اصلی. ۲۲/۷۵ درصد از سلول‌ها فلورستن نشان می‌دهند (در ناحیه‌ی RN1 هستند).

ممانعت از عمل لپتین بر سلول‌ها، تا حد زیادی می‌توان بیماری‌های خودایمن را مهار کرد، اما آنتی‌بادی علیه لپتین یا گیرنده‌اش عواقب زیادی را به دنبال خواهد داشت؛ چرا که لپتین یک هورمون چند منظوره است و علایم‌دهی گیرنده‌ی لپتین، نقش اساسی در رگ‌زایی، تومورزایی، میزان انسولین خون

به طور کلی، لپتین باعث افزایش واسطه‌های ایمنی سلولی و تمایز لنفوцит $TCD4^+$ به سمت Th1 می‌شود. طبیعی است که این اثرات باعث گردد تا لپتین در بعضی از بیماری‌های خودایمن به عنوان یک عامل مستعد کننده‌ی بیماری عمل کند. در نتیجه، با ایجاد آنتاگونیستی در فرم آنتی‌بادی به منظور

برده شد که از طریق تعویض وکتور، یعنی قبل از انجام آزمایش‌های بهینه‌سازی، بیان قابل توجهی نسبت به قبل حاصل شد.

در مطالعه‌ی Yang و همکاران نیز برای تولید کتابخانه‌ی scFv، لایگیشن کارا، ترانسفورماتیون و دستورزی ژنتیکی آسان TNF-scFv، از وکتور فاژمید E 5E و برای بیان از وکتور pCANTAB در میزبان E. coli BL21 pBV220 باعث افزایش چشمگیر بیان از ۰/۱۵ mg/ml در وکتور فاژمید 5E به pCANTAB ۰/۴۵ mg/ml در وکتور pBV220 شد. افزایش قابل ملاحظه در بیان به پروموتر قوی آن نسبت داده می‌شود که چندین بار کارتر از پروموتر lac در وکتور فاژمید ۵E و pAB1 می‌باشد (۲۰).

در این مطالعه، با وجود این که با به کارگیری سویه‌ی pET32a و وکتور E. coli BL21 (همراه با قطعه‌ی pel که در آن انتقال داده شد)، به آسانی و در مدت زمان کم، سطح به نسبت خوبی از پروتئین به صورت ترشحی بیان شد، اما با وجود کمتر بودن خاصیت زیستی taFv تولیدی در مقایسه با آنتی‌بادی تجاری تولید شده در سلول هیبریدوما، تولید در باکتری به منظور اهداف درمانی، مستلزم بررسی‌های بیشتر است.

تشکر و قدردانی

این مقاله حاصل پایان‌نامه‌ی دوره‌ی کارشناسی ارشد لیلا ممجدی در دانشگاه اصفهان می‌باشد.

و دیابت نوع II، تشکیل استخوان، فشار خون، بلوغ جنسی و باروری بازی می‌کند (۱۸-۱۹).

برای این که اثرات لپتین را فقط در سیستم ایمنی تعديل کنیم، باید آن را به نحوی فقط به سمت سلول‌های T سوق دهیم و taFv با ویژگی دوگانه، علیه گیرنده‌ی تمایزی سلول‌های T و CD4، و علیه گیرنده‌ی لپتین ابزار مناسبی برای این هدف است.

مطالعات زیادی کارا بودن taFv/scFv را به عنوان ابزار تشخیص و درمان، به علت پایین‌تر بودن ایمونوژنیسیتی و نفوذ بهتر در بافت، نشان داده است، اما فقدان سیستم کارا برای تولید در حجم زیاد، بزرگ‌ترین مانع برای تحقق نوید آنتی‌بادی درمانی در طیف وسیعی از بیماری‌های انسان می‌باشد (۲۰).

سیستم‌های متنوعی برای بیان و تولید آنتی‌بادی‌های نوترکیب از جمله سیستم‌های باکتریایی، سلول‌های مخمر، گیاهان، سلول‌های حشرات و سلول‌های پستانداران وجود دارد. در این تحقیق، از سیستم باکتریایی E. coli استفاده گردید. دلایل استفاده از این سیستم شامل دستورزی آسان ژنتیکی، ترانسفورماتیون راحت، رشد سریع و عدم نیاز به محیط‌های کشت پیچیده می‌باشد (۲۱).

اگر چه برخی از سیستم‌ها ممکن است میزان بالاتری از برخی آنتی‌بادی‌ها را تولید نمایند، اما باکتری‌ها برای تولید بسیار سریع آنتی‌بادی‌ها و خالص‌سازی آن‌ها بی‌رقیب می‌باشند (۲۲-۲۳).

در این مطالعه نیز با هدف دست‌یابی به بیان مناسب، از سیستم باکتریایی و وکتور pET32a بهره

References

- Zhang F, Basinski MB, Beals JM, Briggs SL, Churgay LM, Clawson DK, et al. Crystal structure of the obese protein leptin-E100. Nature 1997; 387(6629): 206-9.

2. Babaei A, Zarkesh-Esfahani SH, Bahrami E, Ross RJ. Restricted leptin antagonism as a therapeutic approach to treatment of autoimmune diseases. *Hormones (Athens)* 2011; 10(1): 16-26.
3. Ahima RS, Osei SY. Leptin signaling. *Physiol Behav* 2004; 81(2): 223-41.
4. Haghjooy Javanmard Sh, Khorshidi Behzadi M, Amjadi F, Khazaei M, Zarkesh Esfahani H. Leptin enhances melanoma tumor growth by increasing endothelial progenitor cells. *J Isfahan Med Sch* 2012; 29(170): 2653-61. [In Persian].
5. Friedman JM, Halaas JL. Leptin and the regulation of body weight in mammals. *Nature* 1998; 395(6704): 763-70.
6. Massaer M, Mazzu P, Haumont M, Magi M, Daminet V, Bollen A, et al. High-level expression in mammalian cells of recombinant house dust mite allergen ProDer p 1 with optimized codon usage. *Int Arch Allergy Immunol* 2001; 125(1): 32-43.
7. Meier U, Gressner AM. Endocrine regulation of energy metabolism: review of pathobiochemical and clinical chemical aspects of leptin, ghrelin, adiponectin, and resistin. *Clin Chem* 2004; 50(9): 1511-25.
8. Fleet JC. Leptin and bone: does the brain control bone biology? *Nutr Rev* 2000; 58(7): 209-11.
9. Faggioni R, Jones-Carson J, Reed DA, Dinarello CA, Feingold KR, Grunfeld C, et al. Leptin-deficient (ob/ob) mice are protected from T cell-mediated hepatotoxicity: role of tumor necrosis factor alpha and IL-18. *Proc Natl Acad Sci U S A* 2000; 97(5): 2367-72.
10. Chandra RK. Cell-mediated immunity in genetically obese C57BL/6J ob/ob) mice. *Am J Clin Nutr* 1980; 33(1): 13-6.
11. Sanna V, Di GA, La CA, Lechler RI, Fontana S, Zappacosta S, et al. Leptin surge precedes onset of autoimmune encephalomyelitis and correlates with development of pathogenic T cell responses. *J Clin Invest* 2003; 111(2): 241-50.
12. Li C, Friedman JM. Leptin receptor activation of SH2 domain containing protein tyrosine phosphatase 2 modulates Ob receptor signal transduction. *Proc Natl Acad Sci U S A* 1999; 96(17): 9677-82.
13. Carmen S, Jermytus L. Concepts in antibody phage display. *Brief Funct Genomic Proteomic* 2002; 1(2): 189-203.
14. Huston JS, Levinson D, Mudgett-Hunter M, Tai MS, Novotny J, Margolies MN, et al. Protein engineering of antibody binding sites: recovery of specific activity in an anti-digoxin single-chain Fv analogue produced in *Escherichia coli*. *Proc Natl Acad Sci U S A* 1988; 85(16): 5879-83.
15. Campbell AM. Monoclonal antibody and immunosensor technology. The production and application of rodent and human monoclonal antibodies. Philadelphia, PA: Elsevier; 1991.
16. Babaei A. Production and manipulation of a recombinant bispecific antibody which binds simultaneously to leptin receptor and one of the T lymphocytes CD markers in order to modulate the immune response [PhD Thesis]. Isfahan, Iran: University of Isfahan; 2010.
17. Zarkesh-Esfahani SH, Etemadifar Z. The principle of flow cytometry and its application in biological sciences. 1st ed. Isfahan, Iran: Isfahan University Publications; 2010. p. 179. [In Persian].
18. Matarese G, Di GA, Sanna V, Lord GM, Howard JK, Di TA, et al. Requirement for leptin in the induction and progression of autoimmune encephalomyelitis. *J Immunol* 2001; 166(10): 5909-16.
19. Zwick MB, Labrijn AF, Wang M, Spenlehauer C, Saphire EO, Binley JM, et al. Broadly neutralizing antibodies targeted to the membrane-proximal external region of human immunodeficiency virus type 1 glycoprotein gp41. *J Virol* 2001; 75(22): 10892-905.
20. Yang T, Yang L, Chai W, Li R, Xie J, Niu B. A strategy for high-level expression of a single-chain variable fragment against TNFalpha by subcloning antibody variable regions from the phage display vector pCANTAB 5E into pBV220. *Protein Expr Purif* 2011; 76(1): 109-14.
21. Arbabi-Ghahroudi M, Tanha J, MacKenzie R. Prokaryotic expression of antibodies. *Cancer Metastasis Rev* 2005; 24(4): 501-19.
22. Humphreys DP, Sehdev M, Chapman AP, Ganesh R, Smith BJ, King LM, et al. High-level periplasmic expression in *Escherichia coli* using a eukaryotic signal peptide: importance of codon usage at the 5' end of the coding sequence. *Protein Expr Purif* 2000; 20(2): 252-64.
23. Jurado P, Ritz D, Beckwith J, de L, V, Fernandez LA. Production of functional single-chain Fv antibodies in the cytoplasm of *Escherichia coli*. *J Mol Biol* 2002; 320(1): 1-10.

Optimization of Production and Characterization of a Tandem Single Chain Fragment Variable (taFv) against Human Leptin Receptor and Anti-Human CD4

Leila Momajadi MSc¹, Sayyed Hamid Zarkesh-Esfahani PhD², Mohammad Rabbani PhD², Rahman Emamzadeh PhD³, Forouzan Safari¹, Arash Babaei PhD⁴

Original Article

Abstract

Background: Leptin deficiency or dysfunction in leptin receptor (ObR) signaling may tend to resistance to autoimmune diseases. On the other hand, leptin receptors exist on many cells and therefore blocking all of them will probably result in unfavorable effects. Targeted ObR blocking on specific immune cells with a leptin antagonist such as taFv (Tandem single chain fragment variable or Tandem scFv) may be advantageous for patients with autoimmune diseases. This project aimed to optimize the condition for large scale production of such molecule and to test its effect.

Methods: The cloned taFv gene was sub-cloned from pAB1 to pET32a vector. The taFv fragment existence in pET32a vector was confirmed via polymerase chain reaction (PCR) method using T7 primers. Dot blotting was recruited to detect protein expression. Optimization experiments were carried out and assayed using enzyme-linked immunosorbent assay (ELISA). Finally, the functional activity was evaluated via flow cytometry.

Findings: The result of PCR confirmed integration of taFv 2300 bp gene fragment in pET32a vector. Dot blotting confirmed taFv higher expression in pET32a vector compared to previous vector. It was found that media containing sorbitol, Escherichia coli BL21 strain, IPTG 0.05 mM and 18° C temperatures were resulted in higher production of protein levels. Based on flow cytometry, taFv was able to attach to 20% of lymphocytes.

Conclusion: pET32a vector with pel B fragment is suitable for secretory overexpression. Production of taFv could be enhanced via optimizing media and culture conditions.

Keywords: Leptin, Autoimmune disease, Optimization, Bispecific antibody

Citation: Momajadi L, Zarkesh-Esfahani SH, Rabbani M, Emamzadeh R, Safari F, Babaei A. **Optimization of Production and Characterization of a taFv against Human Leptin Receptor and Anti Human CD4.** J Isfahan Med Sch 2015; 33(355): 1740-51

1- Department of Biology, School of Science, University of Isfahan, Isfahan, Iran

2- Associate Professor, Department of Biology, School of Science, University of Isfahan, Isfahan, Iran

3- Assistant Professor, Department of Biology, School of Science, University of Isfahan, Isfahan, Iran

4- Assistant Professor, Department of Biology, School of Science, University of Malayer, Malayer, Iran

Corresponding Author: Sayyed Hamid Zarkesh-Esfahani PhD, Email: s.h.zarkesh@sheffield.ac.uk